



تشخیص و دسته‌بندی عیوب یا تاقان‌های شیار عمیق ساچمه‌ای با استفاده از تبدیل موجک و سیستم عصبی - فازی تطبیقی

یاسمن واقعی^۱, آنوشیروان فرشیدیان‌فر^{۲*}

۱- دانشجوی دکتری، مهندسی مکانیک، دانشگاه فردوسی مشهد، مشهد

۲- استاد، مهندسی مکانیک، دانشگاه فردوسی مشهد، مشهد

*مشهد، صندوق پستی ۹۱۷۷۵-۱۱۱۱

اطلاعات مقاله

مقاله پژوهشی کامل

دریافت: ۱۵ تیر ۱۳۹۴

پذیرش: ۱۸ شهریور ۱۳۹۴

ارائه در سایت: ۰۶ آبان ۱۳۹۴

کلید واژگان:

عیوب بیابی

سیگنال ارتعاشی

تبدیل موجک

سیستم عصبی - فازی تطبیقی

چکیده

امروزه، تشخیص دقیق و سریع عیوب، یکی از مسائل اساسی در صنعت است. تاکنون، الگوریتم‌های پیشرفته بسیاری بدین منظور به کار گرفته شده‌اند که بیشتر دارای پیچیدگی بسیاری بوده و یا نتایج مطلوبی را دریی نداشتند. پژوهش حاضر، روشی نوین جهت تشخیص عیوب یا تاقان‌های موتورهای الکترومکانیکی صنعتی و دسته‌بندی آن‌ها براساس قطر عیوب و محل آن ارائه می‌کند. در بخش ابتدایی، سیگنال ارتعاشی مرتبط با عیوب مختلف به صورت آزمایشگاهی برای دو یا تاقان ساچمه‌ای شیار عمیق استاندارد متصل به سمت شفت گردنه و سمت محرك در حالت‌های معیوب و سالم استفاده شده و سپس، در بخش دوم، به دلیل وجود نویز بالا در سیستم، از تبدیل موجک ساده تک‌بعدی میرجهت تحلیل سیگنال در حوزه فرکانس و زمان استفاده شده و در نتیجه ضرایب حاصل از تبدیل موجک منحصر به هر سیگنال استخراج گردیده است. در قدم بعدی، این ضرایب به بخش سوم، که یک سیستم عصبی - فازی تطبیقی است، جهت دسته‌بندی نوع عیوب، داده شده و تفکیک‌پذیری براساس میزان عیوب موجود در شیار و یا ساچمه انجام گرفته است. در این بخش، قابلیت‌های اصلی سیستم فازی و شبکه عصبی، یعنی مقابله با عدم قطعیت و انعطاف‌پذیری، بهمنظور افزایش میزان دقت و مقابله با نویز در امر عیوب یابی ترکیب شده است. بخش چهارم این پژوهش نیز به بررسی عملکرد سیستم با تحلیل سیگنال‌های جدید آزمایشگاهی و درنهایت مقایسه این نتایج با کارهای پیشین اختصاص یافته است. نتایج حاصل، حاکی از دقت بالا و قابلیت تفکیک و دسته‌بندی بهتر روش ارائه شده است.

Fault diagnosis and classification of deep groove ball bearings using wavelet transform and adaptive neuro-fuzzy system

Yasaman Vaghei, Anooshiravan Farshidianfar *

- Department of Mechanical Engineering, Ferdowsi University of Mashhad, Mashhad, Iran.

* P.O.B 91775-1111, Mashhad, Iran, farshid@um.ac.ir

ARTICLE INFORMATION

Original Research Paper

Received 06 July 2015

Accepted 09 September 2015

Available Online 28 October 2015

Keywords:

Fault Diagnosis

Vibration Signal

Wavelet Transform

Adaptive Neuro-Fuzzy System

ABSTRACT

Today, fast and accurate fault detection is one of the major concerns in industry. Although many advanced algorithms have been implemented in the past decade for this purpose, they were very complicated or did not provide the desired results. Hence, in this paper, we have proposed an emerging method for deep groove ball bearing fault diagnosis and classification. In the first step, the vibration test signals, related to the normal and faulty bearings have been used for both the drive-end and fan-end bearings of an electrical motor. After that, one dimensional Meyer wavelet transform has been employed for signal processing in the frequency domain. Hence, the unique coefficients for each kind of fault were extracted and directed to the adaptive neuro-fuzzy system for fault classification. The intelligent adaptive neuro-fuzzy system was adopted to enhance the fault classification performance due to its flexibility and ability in dealing with uncertainty and robustness to noise. This system classifies the input data to the faults in the race or the balls of each of the fan-end and the drive-end bearings with specific fault diameters. In the final part of this study, the new experimental signals were processed in order to verify the results of the proposed method. The results reveal that this method has more accuracy and better classification performance in comparison with other methods proposed in the literature.

برای تعمیر و بازسازی باشندگان، همچنین تحقیقات اخیر نشان‌گر درصد بالای تخریب موتورهای صنعتی بر اثر عیوب موجود در یا تاقان‌های است؛ بنابراین، تشخیص و برطرف کردن عیوب این اجزا در مراحل ابتدایی از اهمیت بالایی برخوردار است. سیگنال‌های ارتعاشی ثبت شده از این یا تاقان‌ها اطلاعات خوبی

۱ - مقدمه

یا تاقان‌هایی که دارای المان غلتندۀ هستند، به طور معمول در ماشین‌های دوار مورد استفاده قرار می‌گیرند. عیوب پدید آمده در این یا تاقان‌ها ممکن است سبب ایجاد خسارات شدید و جبران‌ناپذیری گشته و نیز نیازمند هزینه بالای

Please cite this article using:

Y. Vaghei, A. Farshidianfar, Fault diagnosis and classification of deep groove ball bearings using wavelet transform and adaptive neuro-fuzzy system, *Modares Mechanical Engineering*, Vol. 15, No. 11, pp. 233-241, 2015 (In Persian)

برای ارجاع به این مقاله از عبارت ذیل استفاده نمایید:

به کار نگرفته‌اند. بدین منظور، هدف اصلی این پژوهش، ارائه روشی نوین جهت تشخیص میزان قطر عیب و دسته‌بندی آن در یاتاقان‌های شیار عمیق استاندارد موتورهای الکتریکی صنعتی است که ویژگی‌های بارز روش مذکور که آن را بر تحقیقات پیشین برتر می‌سازد، بدین شرح است: 1- تبدیل موجک میر⁶ روشی موثر در تحلیل سیگنال ارتعاشی در حوزه فرکانس و زمان است. 2- استفاده از ترکیب منطق فازی و شبکه‌های عصبی سبب افزایش دقت دسته‌بندی براساس عیب موجود در شیار یا ساچمه می‌گردد. 3- استفاده از این روش برای سیگنال‌های با نویز بالا مناسب است. این ویژگی در مواردی که نیاز به دقت بالاست، بسیار اهمیت پیدا می‌کند.

بدین ترتیب، مقاله حاضر بدین صورت ساختار می‌یابد: قسمت 2 به ارائه ساختار و شرایط آزمایشگاهی و ویژگی‌های یاتاقان‌های مورد استفاده پرداخته شده است. سپس، در قسمت 3، سیگنال‌های ارتعاشی دریافتی و نحوه تبدیل موجک بیان شده و در قسمت 4 به بررسی ساختار سیستم تطبیقی عصبی - فازی پرداخته شده است. در قدم بعد، بحث و بررسی نتایج در قسمت 5 توسط سیگنال‌های آزمایشگاهی جدید آزموده شده و نتایج در قسمت 6 ارائه شده است.

2- بودسی شرایط آزمایشگاهی

تشخیص میزان قطر عیب و نیز دسته‌بندی عیوب براساس مکان وجود آن‌ها (در شیار یاتاقان یا ساچمه‌های آن) و قطر عیب هدف اصلی این پژوهش است. عیوب به وجود آمده در یاتاقان‌ها ممکن است در اثر عوامل مختلفی مانند خوردگی، ترک، خستگی، تغییر شکل ناشی از اثرات دمایی و غیره پدید آیند. این عیوب سبب تغییر سیگنال ارتعاشی متسع شده از یاتاقان مورد نظر می‌گردد.

نمونه‌های آزمایشگاهی شامل یاتاقان‌هایی با مشخصات داده شده در جدول 1 بودند که دستخوش عیوب مختلف در قسمت ساچمه و شیار یاتاقان قرار گرفته بودند (شکل 1).



Fig. 1 Schematic view of the bearings and the related faults
شکل ۱ شمای کلی یاتاقان‌های مورد استفاده و عیوب مربوطه

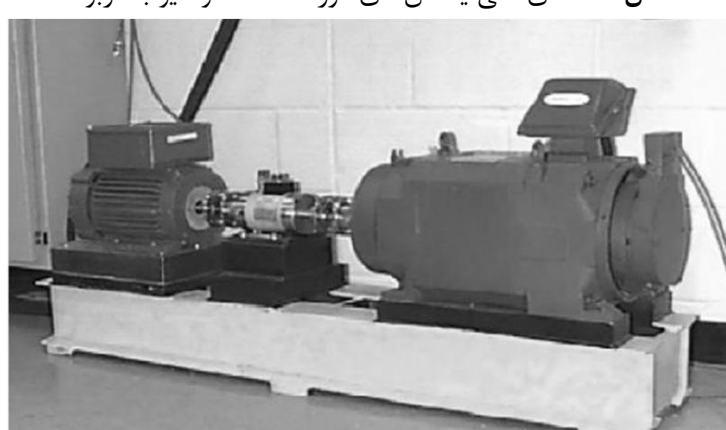


Fig. 2 The experimental test setup
شکل ۲ مجموعه دستگاه آزمایشگاهی [8]

6- Meyer Wavelet

در مورد سلامت آن‌ها به ما می‌دهند، می‌توان مشخصات عملکرد یاتاقان‌ها را از طریق روش‌های تحلیل این سیگنال‌ها بدست آورد.

در علوم مهندسی، تحلیل سیگنال عمدتاً شامل نمود تصویری ساختار سیگنال، فشرده‌سازی، و تجزیه آن است. روش‌های تحلیل در حوزه زمان، فرکانس، و فرکانس- زمان جهت بررسی سیگنال‌های ارتعاشی و آکوستیکی مورد استفاده قرار می‌گیرند [1]. در تحلیل سیگنال ارتعاشی یاتاقان‌های دارای المان غلتنه، اثر مدولاسیون سیگنال و نویز، دو مانع اصلی در تشخیص عیب در مراحل اولیه است که رندال جهت برطرف کردن مانع مدولاسیون، تبدیل هیلبرت¹ برپایه تبدیل فوریه سریع² را ارائه نمود [2]، اما این روش برای سیگنال‌های دارای نویز زیاد، عملکرد مطلوبی از خود نشان نمی‌دهد. به علاوه، در تبدیلات فوریه سریع، طول پنجره³ در طول تحلیل ثابت می‌ماند که سبب تفکیک‌پذیری ثابت زمان- فرکانس می‌شود.

جهت افزایش نسبت سیگنال به نویز ابتدا باید روشی جهت توصیف سیگنال برای تشخیص خواص گذرا و نویز یافته که به طور معمول از روش فرکانس- زمان استفاده می‌شود که توسط آن می‌توان سیگنال را در فضای زمان- فرکانس نشان داد. در حقیقت، تبدیل موجک⁴ به دلیل مرتبط بودن مقیاس آن با فرکانس، یکی از روش‌های توصیف زمان- فرکانس است [3]. استفاده از تبدیل موجک در دهه‌های اخیر بسیار پر طرفدار بوده است. ویژگی‌های تبدیلات موجک همانند آزادی عمل در انتخاب موجک مادر و نویز وجود نرم‌افزارهای مرتبط، سبب افزایش دامنه کاربردهای این تبدیلات شده است. در تبدیل موجک، با افزایش فرکانس، طول پنجره کاهش می‌یابد که منجر به تراز میان تفکیک‌پذیری در زمان و مقیاس (که مقیاس مشابه با فرکانس در نظر گرفته می‌شود). در مطالعات عیب‌یابی انجام گرفته، تبدیل موجک در مراحل مختلف تحلیل مورد استفاده قرار گرفته است [6-4]. سیستم‌هایی که عمل تشخیص را به صورت خودکار انجام می‌دهند از روش‌هایی بهره می‌برند که آن‌ها را قادر می‌سازد تا شرایط را بدون نیاز به کاربر ارزیابی نمایند. این امر توسط روش‌های هوش مصنوعی امکان‌پذیر می‌شود. ترکیب منطق فازی و شبکه‌های عصبی مصنوعی سبب پدید آمدن سیستم‌های عصبی- فازی تطبیقی گردیده است. سیستم تطبیقی عصبی- فازی نوعی شبکه عصبی مصنوعی است که براساس سیستم استنتاج تاکاگی- سوگنو⁵ عمل می‌کند. این سیستم، قابلیت‌های سیستم فازی مانند مقابله با عدم قطعیت و عدم نیاز به مدل دقیق سیستم را با قابلیت‌های بالای شبکه‌های عصبی در انعطاف‌پذیری و پیش‌بینی ترکیب می‌نماید. موتور استنتاج یک سیستم تطبیقی عصبی- فازی شامل قوانین اگر/آنگاه است که قادر به یادگیری و تقریب توابع غیرخطی است و بنابراین، اکثراً از آن به عنوان یک تقریب‌زننده عمومی استفاده می‌نمایند. تبدیل موجک فازی و روش‌های شبکه عصبی در تبدیلات موجک در پژوهش‌های پیشین بر روی عمل تشخیص و کلاس‌بندی عیب بررسی شده است [5]. این سیستم‌ها در سال‌های اخیر به دلیل امکان پیاده‌سازی و درک آسان، در حوزه تشخیص عیب، نوع و میزان آن، و نیز دسته‌بندی عیوب مورد توجه قرار گرفته‌اند [7]. با توجه به مطالعات انجام گرفته، ملاحظه می‌شود که تحقیقات وسیع گذشته در مورد یاتاقان‌های شیار عمیق ساچمه‌ای تاکنون سیستم تطبیقی عصبی- فازی را به همراه تبدیل موجک جهت تشخیص عیب و یا دسته‌بندی آن

- 1- Hilbert Transform
- 2- Fast Fourier Transform (FFT)
- 3- Window Length
- 4- Wavelet Transform
- 5- Takagi-Sugeno

در حقیقت، عملی که در تبدیل موجک جهت تحلیل سیگنال ارتعاشی صورت می‌گیرد را می‌توان در پنج مرحله خلاصه کرد.

۱- یک موجک مادر براساس نوع سیگنال موردنظر انتخاب می‌گردد.

در این پژوهش به دلیل استفاده از تحلیل سیگنال ارتعاشی از موجک میر به عنوان موجک مادر استفاده شده است.

۲- موجک مادر در مرحله اول در ابتدای سیگنال ارتعاشی (در ابتدای ترین نقطه در سمت چپ) قرار داده شده و میزان همبستگی این موجک و سیگنال مربوطه (طبق رابطه ۲) با یکدیگر محاسبه می‌شود.

۳- موجک مادر در جهت محور زمان (از سمت چپ به راست) روی سیگنال ارتعاشی حرکت کرده و دوباره میزان همبستگی برای موقعیت جدید سنجیده می‌شود. این عمل هنگامی که موجک مادر به انتهای سمت راست سیگنال ارتعاشی مربوطه رسید پایان می‌یابد.

۴- مقیاس (میزان کشیدگی موجک در طول محور زمان) موجک مادر افزایش داده شده و مراحل ۲ و ۳ تکرار می‌شود.

۵- مراحل ۱ تا زمان دست‌یابی به ضرایب موجک ادامه می‌یابد.

با انجام مراحل یاد شده، می‌توان به ضرایب موجک برای مقیاس‌های مختلف موجک مادر دست پیدا کرد. رسم نمودار دو بعدی مقیاس بر حسب زمان و نیز نمودار سه‌بعدی مقیاس، زمان، ضرایب موجک، سبب می‌گردد تا بتوان ضرایب تبدیلی که دارای بیشترین تفاوت دامنه تغییرات بوده و از یکدیگر کاملاً مجزا را انتخاب کرد و از آن‌ها در تشخیص طول قطر عیب و محل آن استفاده شود. نمودارهایی که برای ضرایب تبدیل موجک پیوسته ترسیم می‌شود، در اصل یک نمایش از سیگنال در حوزه زمان نیز هستند، زیرا که مقدار مقیاس موجک مادر در طول زمان و در انتهای مرحله چهارم افزایش می‌یابد. بدین معنی که هرچه مقدار مقیاس بیشتر باشد، موجک مادر در هر مرحله، بازه زمانی بزرگ‌تری را پوشش می‌دهد که میزان همبستگی نیز برای همان بازه محاسبه می‌شود. البته افزایش مقیاس تا زمانی مطلوب است که اطلاعات کافی جهت استخراج ضرایب قابل تفکیک از یکدیگر موجود باشد.

در این پژوهش، از تبدیل پیوسته موجک میر جهت تحلیل سیگنال ارتعاشی استفاده شده است. این موجک بینهایت مشتق‌پذیر بوده و در حوزه فرکانس توسط رابطه (۳) تعریف می‌گردد [۱۰].

$$\Psi(\omega) = \begin{cases} \frac{1}{\sqrt{2\pi}} \sin\left(\frac{\pi}{2} u\left(\frac{3|\omega|}{4\pi} - 1\right)\right) e^{j\omega/2}, & \text{اگر } \frac{4\pi}{3} < |\omega| < \frac{8\pi}{3} \\ \frac{1}{\sqrt{2\pi}} \cos\left(\frac{\pi}{2} u\left(\frac{3|\omega|}{4\pi} - 1\right)\right) e^{j\omega/2}, & \text{اگر } \frac{4\pi}{3} < |\omega| < \frac{8\pi}{3} \\ 0, & \text{در غیر این صورت} \end{cases} \quad (3)$$

که u در آن با رابطه (۴) داده می‌شود و تابع مقیاس میر^۵ نیز توسط رابطه (۵) به دست می‌آید.

$$u(x) = \begin{cases} 0, & x < 0 \\ x, & 0 < x < 1 \\ 1, & \text{در غیر این صورت} \end{cases} \quad (4)$$

$$\phi(\omega) = \begin{cases} \frac{1}{\sqrt{2\pi}}, & |\omega| < \frac{2\pi}{3} \\ \frac{1}{\sqrt{2\pi}} \cos\left(\frac{\pi}{2} u\left(\frac{3|\omega|}{4\pi} - 1\right)\right), & \frac{2\pi}{3} < |\omega| < \frac{4\pi}{3} \\ 0, & \text{در غیر این صورت} \end{cases} \quad (5)$$

۵- Meyer Scale Function

همان‌گونه که در شکل ۲ نشان داده شده است، مجموعه دستگاه آزمایشگاهی شامل یک موتور الکتریکی با قدرت دو اسپ بخار (در سمت چپ)، یک انکدر^۱ یا مبدل گشتاور (در مرکز) و وسایل کنترل الکترونیکی است. یاتاقان‌های موردنظر، شفت موتور را نگهداری می‌نمایند. عیوب نقطه‌ای با قطراهای به صورت مشابه در نمونه‌های آزمایشگاهی توسط ماشین‌کاری تخلیه الکتریکی^۲ ایجاد شده است. این عمل برای هر دو سری یاتاقان‌هایی که در دوسر شفت (سمت محرک و سمت گردنده) قرار می‌گیرند انجام گرفته است. داده‌های ارتعاشی در دانشگاه کیس وسترن^۳ توسط شتاب‌سنجهایی با پهنهای باند 5000 هرتز و خروجی g^{۱/۲} که توسط پایه‌های مغناطیسی به قسمت هوزینگ موتور در دو سمت محرک و گردنده متصل شده بودند ثبت گردید. این داده‌ها توسط یک ضبط‌کننده شانزده کاناله مجهز به فیلتر پایین‌گذر جمع‌آوری شده و در محیط متلب^۴ داده‌سازی انجام شده است. به علاوه، نمونه‌برداری از داده‌های دیجیتال با سرعت 48000 داده در ثانیه برای هر دو سری یاتاقان در حالتی که سرعت گردش شفت 1750 دور بر دقیقه انجام پذیرفته است [۸].

۳- تبدیل موجک

تبدیل فوریه از نظر ریاضی، به صورت رابطه (۱) است. تبدیل یک سیگنال از حوزه زمان در تبدیل فوریه، سبب تجزیه آن می‌گردد و توسط رابطه زیر بیان می‌شود.

$$F(\omega) = \int_{-\infty}^{\infty} f(t) e^{-j\omega t} dt \quad (1)$$

که حاصل آن مجموع ضرب سیگنال $f(t)$ در یک ترم نمایی مختلط $e^{-j\omega t}$ روی تمامی بازه زمانی، و t نشان‌گر زمان است. نتایج حاصل از تبدیل فوریه، ضرایب تبدیل فوریه است که سیگنال اصلی را به چندین سیگنال سینوسی تبدیل می‌نماید.

به طور مشابه، تبدیل موجک پیوسته به صورت مجموع ضرب سیگنال در موجک مادر (تابع موجک مقیاس‌گذاری شده و جایه‌جا شده روی تمامی بازه زمانی) است (رابطه (۲)).

$$C = \int_{-\infty}^{\infty} f(t) \Psi(t) dt \quad (2)$$

که نتیجه آن، چندین ضریب موجک C که تابعی از مقیاس و موقعیت هستند است [۹]. که منظور از مقیاس، میزان کشیدگی موجک مادر در طول محور زمان و منظور از موقعیت، موقعیت مرکز موجک مادر است که روی سیگنال ارتعاشی حرکت کرده و میزان همبستگی آن با این سیگنال سنجیده می‌شود.

جدول ۱ اطلاعات مربوط به یاتاقان‌ها

Table 1 Bearings' specifications

یاتاقان سمت	محرك نوع	مشخصات
SKF 6203	SKF 6205	
17	25	قطر داخلی (mm)
40	52	قطر خارجی (mm)
12	15	پهنهای کلی (mm)
فولاد	فولاد	جنس قفسه
19000	14000	بیشینه سرعت (rpm)

1- Encoder

2- Electro Discharging Machine

3- Case Western University

4- MATLAB

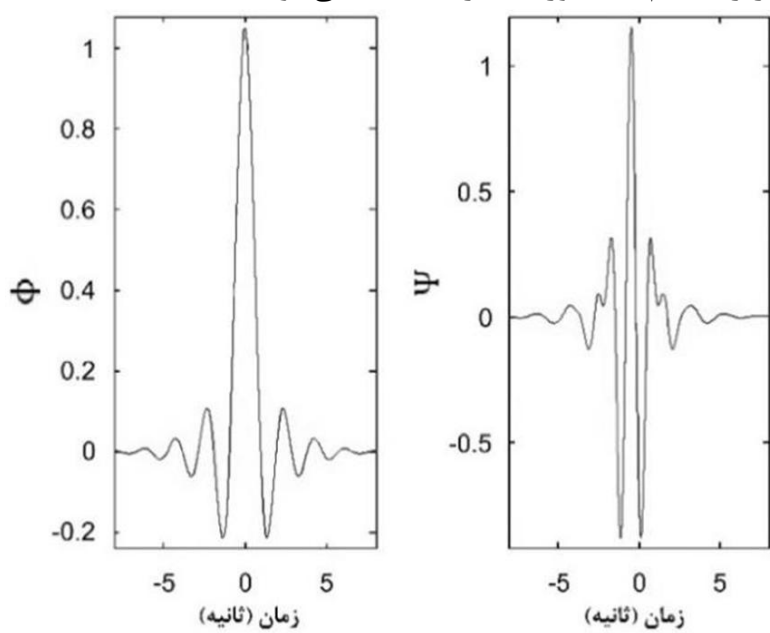
بهینه‌سازی وزن‌های شکلی از یکتابع تراکم غیرخطی^۱ انجام می‌گیرد. اگر تعداد نورون‌های اشتراک^۲ را با زنایش داده شده و f_k خروجی k ام باشد، آن‌گاه رابطه (10) را می‌توان به صورت زیر به دست آورد.

$$j = k_n + \sum_{i=2}^N (k_{n-i+1} - 1) \left(\prod_{r=1}^{i-1} N_{n+1-r} \right) \quad (10)$$

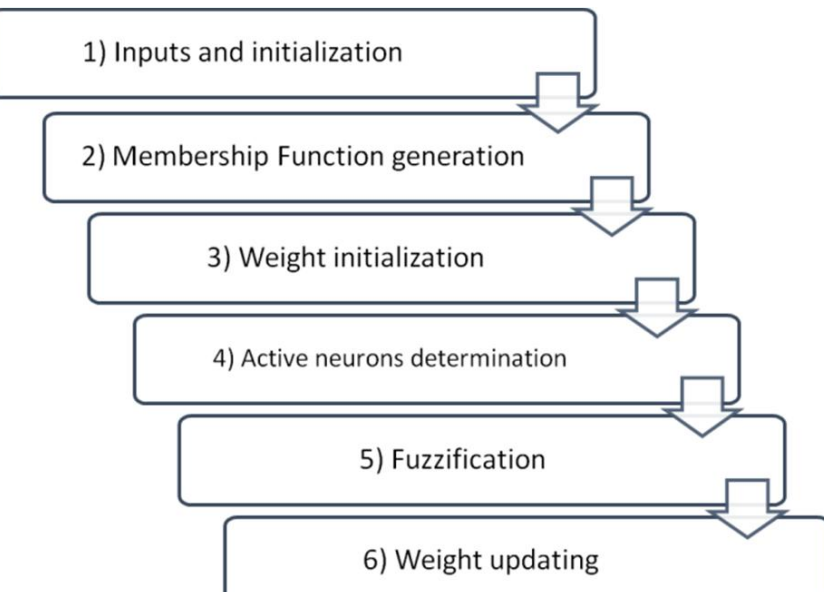
همچنین وزن‌های نرم‌الایز شده توسط ضرایب پارامتری a_i در خروجی‌های نورون‌ها در هر لایه و درنتیجه خروجی نهایی تأثیرگذار است (رابطه 11).

$$f_i = T_{i=1}^{n+N} (w_i s a_i) \quad (11)$$

که T و S به ترتیب، نشان‌گر تی‌نرم^۳ و کو-تی‌نرم^۴ است. سیستم عصبی - فازی تطبیقی استفاده شده در این مقاله از دوازده زیرسیستم تشکیل شده است که هر کدام از آن‌ها دارای یک نورون ورودی، یک نورون خروجی و چهار نورون در لایه پنهان هستند. جزئیات این سیستم در شکل 5 و جدول 2 آورده شده است. هر کدام از این دوازده زیرسیستم، توسط ضرایب مربوط به دوازده عیوب، خروجی تبدیل موجک، یعنی ضرایب بهمنظور دسته‌بندی عیوب، خروجی تبدیل موجک، یعنی ضرایب استخراج شده از تبدیل موجک، به عنوان ورودی به هر کدام از این زیرسیستم‌ها داده می‌شود. سپس میزان تطابق ورودی با داده‌های آموزش داده شده پیشین در این زیرسیستم‌ها به صورت مجزا سنجیده می‌شود.



شکل 3 تابع موجک (راست) و تابع مقیاس (چپ) میر



شکل 4 مراحل عملکرد سیستم عصبی-فازی تطبیقی

- 1- Nonlinear Aggregation Function
- 2- ‘And’ Neurons
- 3- T-Norm
- 4- T-Conorm

شکل 3 نمایشی از موجک میر و نیز تابع مقیاس آن در حوزه زمان است. می‌توان پس از استخراج ضرایب تبدیل موجک پیوسته برای سیگنال‌های ارتعاشی، آن‌ها را به یک سیستم عصبی - فازی تطبیقی وارد کرد و خروجی‌های مرتبط را یافت.

4- سیستم عصبی - فازی تطبیقی

در این پژوهش، سیستم عصبی - فازی تطبیقی با توجه به میزان قطر عیوب‌های بررسی شده آزمایشگاهی، یعنی قطرهای 0.007 ، 0.014 و 0.021 اینج در قسمت شیار و ساچمه‌های یاتاقان‌ها، و نیز یاتاقان‌های سمت محرك و گردند، به دوازده قسمت مجزا تقسیم می‌شود. هر کدام از این قسمت‌ها به طور جداگانه، یک سیستم عصبی - فازی تطبیقی هستند که از قسمتی از داده‌های آزمایشگاهی به عنوان داده‌های ورودی آن‌ها (ضرایب به دست آمده از تبدیل موجک پیوسته) جهت آموزش استفاده شده و ساختار آن‌ها شکل پیدا می‌کند. مراحل انجام این عمل به ترتیبی که در شکل 4 آمده است انجام می‌پذیرد. علاوه بر این، جزئیات هر مرحله در زیر توضیح داده شده است [11]:

- 1 ضرایب تبدیل موجک پیوسته مرتبط با سیگنال هر کدام از قطر عیوب‌ها به طور مجزا به سیستم عصبی - فازی تطبیقی مرتبط با آن داده می‌شود.

-2 سیستم موردنظر، براساس ورودی دریافت شده، توابع عضویت فازی را می‌سازد.

-3 ضرایب شبکه عصبی - فازی به صورت تصادفی مقداردهی شده و ارتباطات شبکه ساخته می‌شوند.

-4 توابع عضویت موجود، نورون‌های فعال و غیرفعال درون شبکه را مشخص می‌کند.

-5 عمل فازی‌سازی توسط توابع عضویت و نورون‌های فعال انجام گرفته و تنها توابع عضویت مربوط به دسته‌های فازی فعال محاسبه می‌گردد.

-6 وزن‌های شبکه با استفاده از الگوریتم بهینه‌سازی گرادیان و یادگیری تقویتی به روز رسانی می‌شوند.

این مراحل را به ترتیب و با استفاده از روابط (6-9) می‌توان بیان کرد.

$$w_i = \prod_{i=1}^N \mu_{A_i}(x_i), \quad i = 1, 2, \dots, N \quad (6)$$

$$\overline{w}_i = \frac{w_i}{\sum_{i=1}^N w_i}, \quad i = 1, 2, \dots, N \quad (7)$$

$$f_i = \sum_{i=1}^N a_i x_i, \quad i = 1, 2, \dots, N \quad (8)$$

$$f = \sum_{i=1}^N \overline{w}_i f_i, \quad i = 1, 2, \dots, N \quad (9)$$

که در آن x_i ها ورودی‌های سیستم هستند، μ_{A_i} نیز تابع عضویت مرتبط با مجموعه‌های فازی A_i است که به صورت مستقیم با ورودی‌ها در ارتباطند. همچنین، \overline{w}_i ها وزن‌های نرم‌الایز شده w_i را مشخص می‌کنند. a_i ها نیز مجموعه پارامترهایی هستند که خروجی‌های مجزای f_i را می‌سازند. درنهایت، مجموع ضرب این خروجی‌ها در وزن‌های نرم‌الایز شده، خروجی نهایی f را تشکیل می‌دهد. فرآیند یافتن وزن‌های بهینه توسط لایه‌های نورونی موجود در ساختار شبکه عصبی - فازی تطبیقی با استفاده از

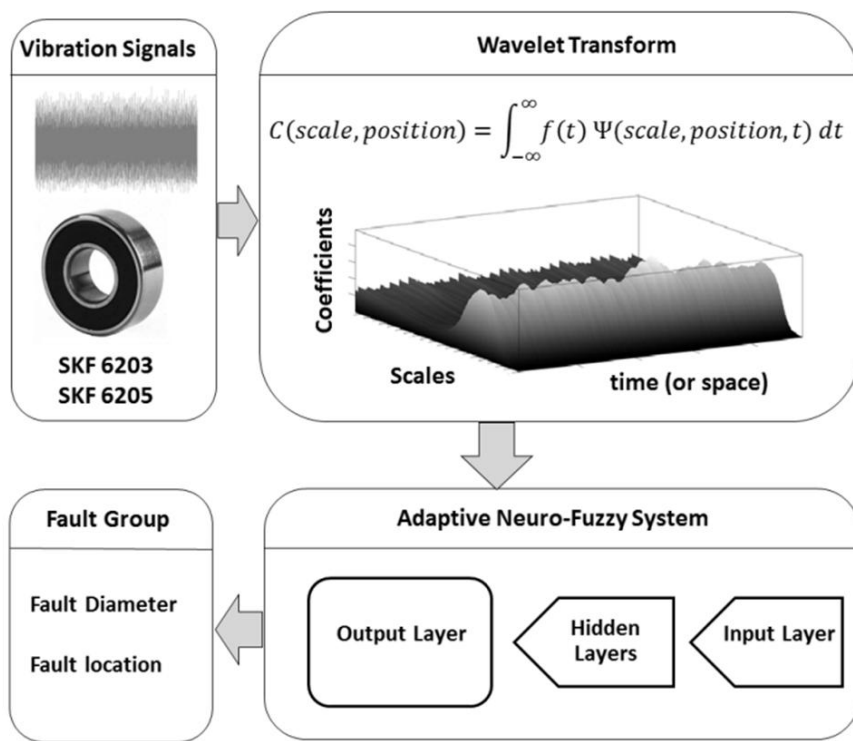


Fig. 6 The algorithm and the total schematic view of the proposed method's process

شکل 6 الگوریتم و شماتیک کلی فرآیند تحلیل روش پیشنهادی

روش‌های مورد استفاده در هر قسمت بیان شد. حال، به بررسی و تفسیر نتایج حاصل از این پژوهش پرداخته می‌شود.

همان‌طور که پیش‌تر اشاره شد، سیگنال‌های دریافتی آزمایشگاهی شامل داده‌های مربوط به سه قطر عیوب در قسمت شیار و ساچمه‌های یاتاقان و نیز سیگنال یاتاقان‌های سالم بودند که نمونه‌ای از آن جهت درک بهتر در شکل 7 آورده شده است؛ چنان‌که تفکیک این سیگنال‌ها در حوزه فرکانس برخلاف حوزه زمانی به سادگی امکان‌پذیر نیست و نیز وجود چندین نوع عیوب نیز در این حوزه قابل تشخیص نیست. در این پژوهش، تشخیص و دسته‌بندی عیوب یاتاقان‌ها با دقت بالا و در مراحل اولیه مورد نظر است. با رسم نمودار تبدیل فوریه سریع نمونه‌ای از سیگنال‌های ارتعاشی دستگاه می‌توان دریافت که به دلیل تداخل و تراکم بالای اطلاعات در محدوده زمانی موردنظر، تفکیک ویژگی‌های سیگنال‌ها از این طریق عمل غیرممکن است؛ از ضرایب تبدیل موجک استفاده شده است تا توسط آن بتوان به راحتی عیوب مختلف را از یکدیگر متمایز ساخت؛ زیرا که دامنه تغییرات ضرایب مربوط به هر عیوب با دیگری کاملاً متفاوت است (شکل 9,8).

در این پژوهش، هدف، تحلیل سیگنال‌های ارتعاشی آزمایشگاهی از طریق تبدیل موجک است. بدین منظور، وجه استخراج ویژگی‌های متمایز این سیگنال‌ها، از تمامی آن‌ها تبدیل موجک پیوسته گرفته شده است و بدین‌ترتیب همان‌طور که در روابط مربوط به این تبدیل بیان شد، ضرایب و مقیاس‌های تبدیل موجک برای هر داده زمانی یافت می‌شود (شکل 11,10). سپس، مقیاسی که در آن بیشترین تفاوت میان ضرایب وجود دارد انتخاب شده و ضرایب مستخرج مربوطه برای عیوب مختلف در شکل‌های 8 و 9 رسم شده‌اند.

جهت افزایش دقت و ضریب اطمینان، ضرایب تبدیل موجک در شکل‌های 8 و 9 در 5 ثانیه با سرعت نمونه‌برداری 48000 نمونه در ثانیه (یعنی برای $5 \times 240000 = 120000$) محاسبه شده است. انتخاب این بازه زمانی آسیبی به موتور نمی‌رساند، اما در کاربردهایی که نیاز به دقت بالاتری دارند می‌توان این بازه زمانی را کاهش داد. تغییرات این ضرایب بر حسب داده‌های زمانی برای هر نوع عیوب مقدار بازه متفاوتی را اختیار می‌کند. بدین ترتیب، می‌توان آن‌ها را از یکدیگر تفکیک کرد. این امر را به روشنی می‌توان در نمودارهای سه‌بعدی داده زمانی - مقیاس - ضریب بررسی

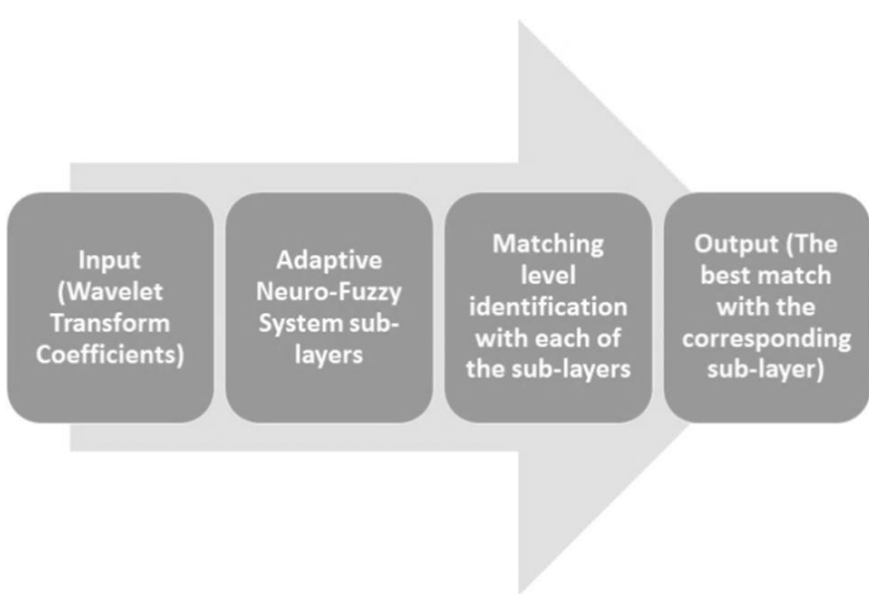


Fig. 5 Schematic view of the adaptive neuro-fuzzy system's sections

شکل 5 تصویر شماتیک اجزای سیستم عصبی - فازی تطبیقی

جدول 2 جزئیات سیستم عصبی - فازی تطبیقی

Table 2 The details of the adaptive neuro-fuzzy system

فازی	استنتاج	نحوه تولید سیستم	نوع توابع عضویت	نحوه آموزش
ممدانی ¹	دسته‌بندی ²	گرادیان کاهشی ³	مثلثی	دسته‌بندی کاهشی ²

در صدھای تطابق به دست آمده در مرحله بعدی با یکدیگر مقایسه شده و بزرگ‌ترین درصد انتخاب می‌گردد. زیرسیستم عصبی - فازی مرتبط به این درصد، نشان‌گر عیوب مربوطه خواهد بود؛ بنابراین خروجی ساختار بسیار ساده هر کدام از دوازده زیرسیستم عصبی - فازی، میزان تطابق سیگنال ارتعاشی موردنظر با هر کدام از آن‌ها است. بدین معنی که هرگونه عیوب در قسمت شیار یا ساچمه‌های یاتاقان، ویژگی‌ها و ضرایب تبدیل موجک سیگنال منحصر به خود را داشته و تنها با شبکه فازی - عصبی مرتبط با آن عیوب تطابق بیشینه را دارد. از سوی دیگر پس از انجام آموزش این سیستم قادر است تا عیوب را براساس این شبکه‌ها و تطابق سیگنال‌ها شناسایی و دسته‌بندی نماید. این عمل در نهایت افزایش سرعت دسته‌بندی را نیز در پی دارد؛ زیرا که الگوریتم این سیستم در بازه‌های کوچک‌تری عمل می‌نماید. البته کاهش بیش از حد این بازه‌ها می‌تواند مشکلاتی مانند بیش‌برازش⁴ را در پی داشته باشد. مزیت اصلی استفاده از این نوع سیستم تطبیقی عصبی - فازی به همراه تبدیل موجک در این پژوهش، سادگی ساختاری و محاسباتی آن که منجر به کاهش زمان پردازش می‌شود.

با توجه به مطالب ارائه شده، می‌توان فرآیند کلی الگوریتم ارائه شده را به صورتی که در شکل 6 نیز آمده است بیان کرد. همان‌طور که مشاهده می‌شود، سیگنال‌های ارتعاشی آزمایشگاهی در مرحله ابتدایی توسط تبدیل پیوسته موجک تحلیل شده و ضرایب آن به دست می‌آید. در گام بعد، ضرایب به دست آمده به سیستم عصبی - فازی تطبیقی جهت انجام فرآیند یادگیری داده می‌شوند و خروجی‌های آن براساس نوع عیوب موجود، نامگذاری می‌گردند. با ورود سیگنال‌های جدید آزمایشگاهی این سیکل تکرار می‌شود. تنها تفاوت موجود برای داده‌های جدید این است که حال، سیستم عصبی - فازی تطبیقی به عنوان یک دسته‌بندی کننده عمل می‌کند.

5- بحث و بررسی نتایج

در قسمت‌های پیشین، الگوریتم موردنظر در این پژوهش و نیز جزئیات

1. Mamdani
2. Subtractive clustering
3. Gradient descend
4. Over Fitting

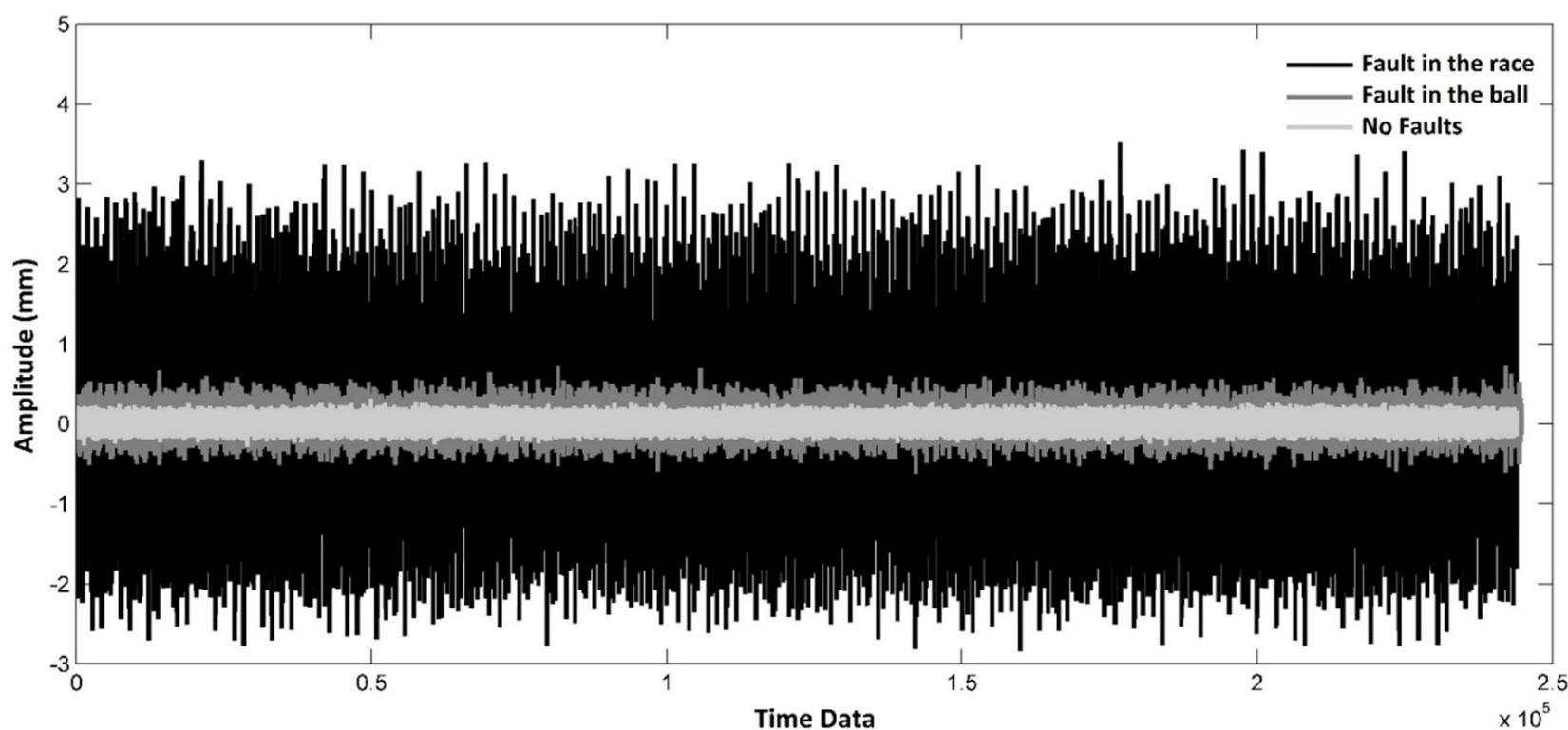


Fig. 7 Sample experimental signals

شکل 7 نمونه‌ای از سیگنال‌های به دست آمده از داده‌های آزمایشگاهی

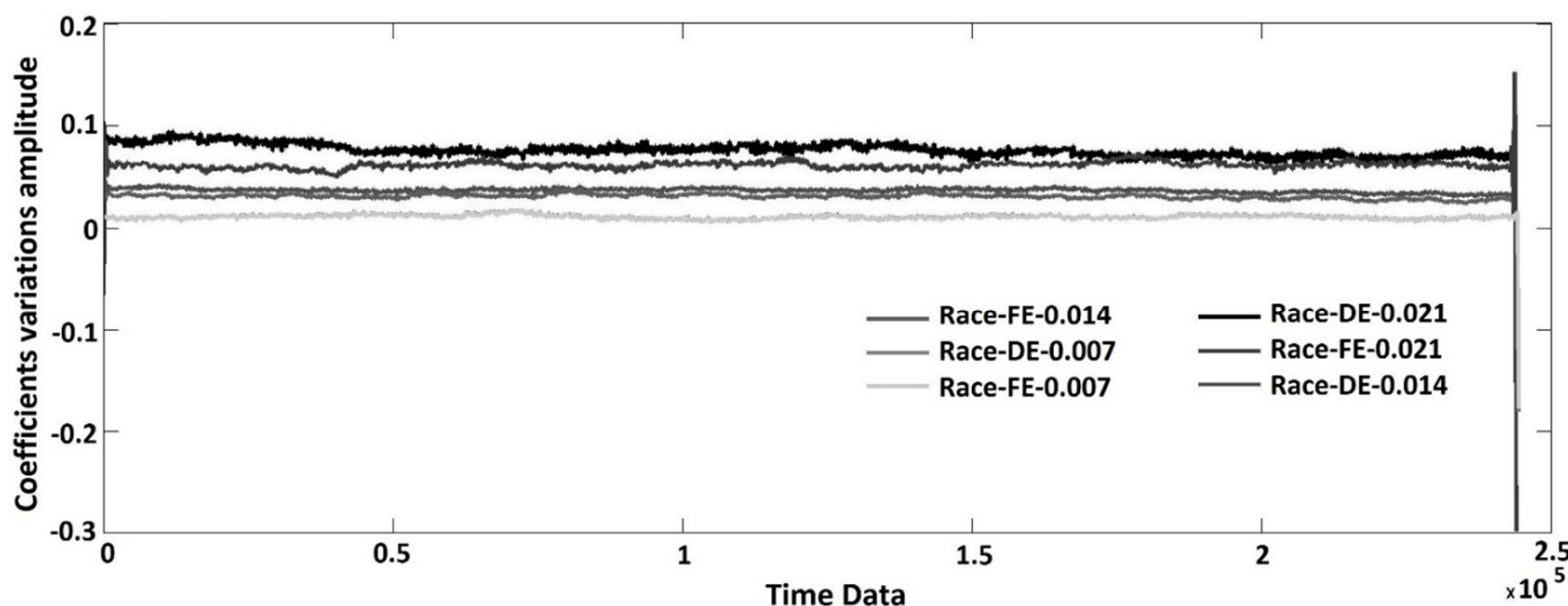


Fig. 8 The wavelet transform coefficients for the faults in the race of the bearings, in Drive End (DE) or Fan End (FE)

شکل 8 ضرایب تبدیل موجک عیوب شیار (محل عیوب (شیار یا ساچمه)، یاتاقان مربوطه (سمت گردنه (DE) و سمت محرک (FE)) و قطر عیوب به ترتیب مشخص شده‌اند.)

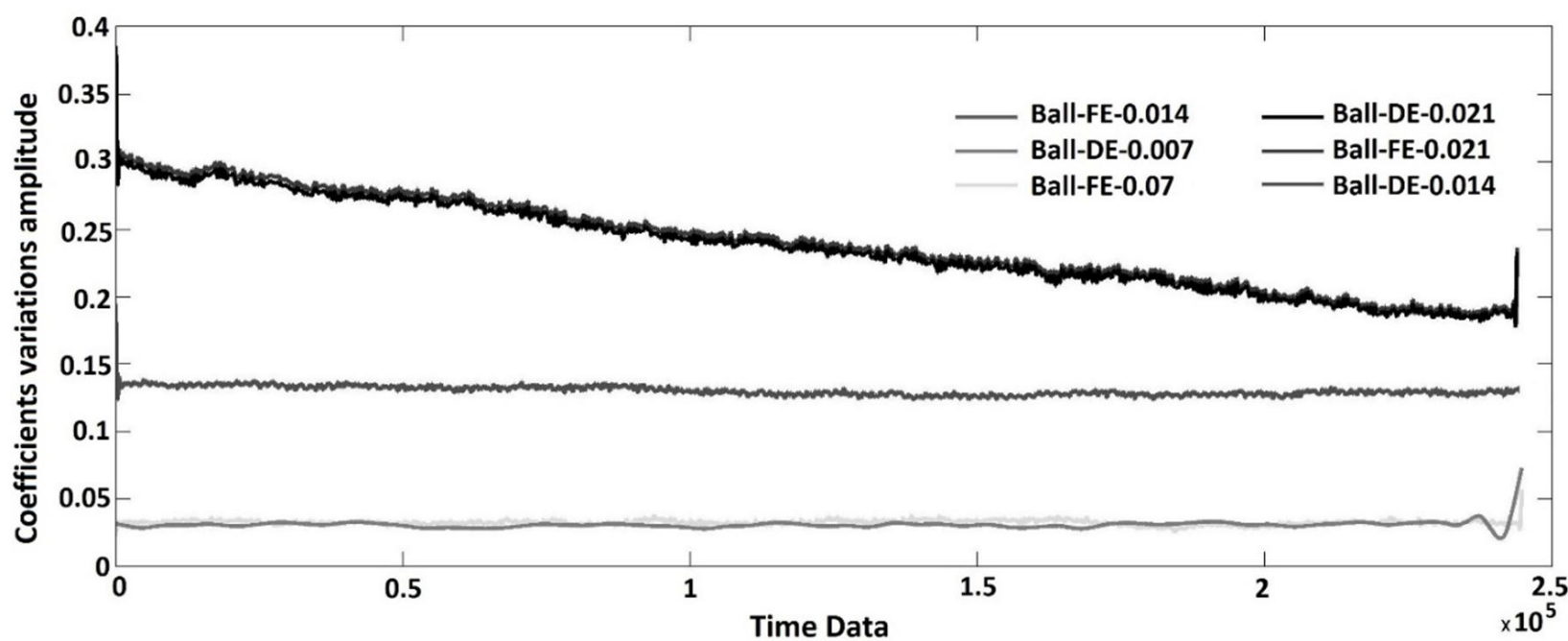


Fig. 9 The wavelet transform coefficients for the faults in the balls of the bearings, in Drive End (DE) or Fan End (FE)

شکل 9 ضرایب تبدیل موجک عیوب ساچمه (محل عیوب (شیار یا ساچمه)، یاتاقان مربوطه (سمت گردنه (DE) و سمت محرک (FE)) و قطر عیوب به ترتیب مشخص شده‌اند.)

یاتاقان‌های سمت محرک و گردنه مشابه یکدیگرند و عیوب یکسانی را به نمایش می‌گذارند که خود دلیلی بر صحت عملکرد تبدیل موجک پیوسته است.

کرد. با دقت در شکل 10 و 11 ملاحظه می‌شود که مقادیر بیشینه و نیز تغییرات ضرایب برای هر نوع عیوب با قطر و محل خاص، در صفحه داده زمانی و مقیاس تفاوت قابل ملاحظه‌ای دارد. به علاوه، نمودارهای مربوط به

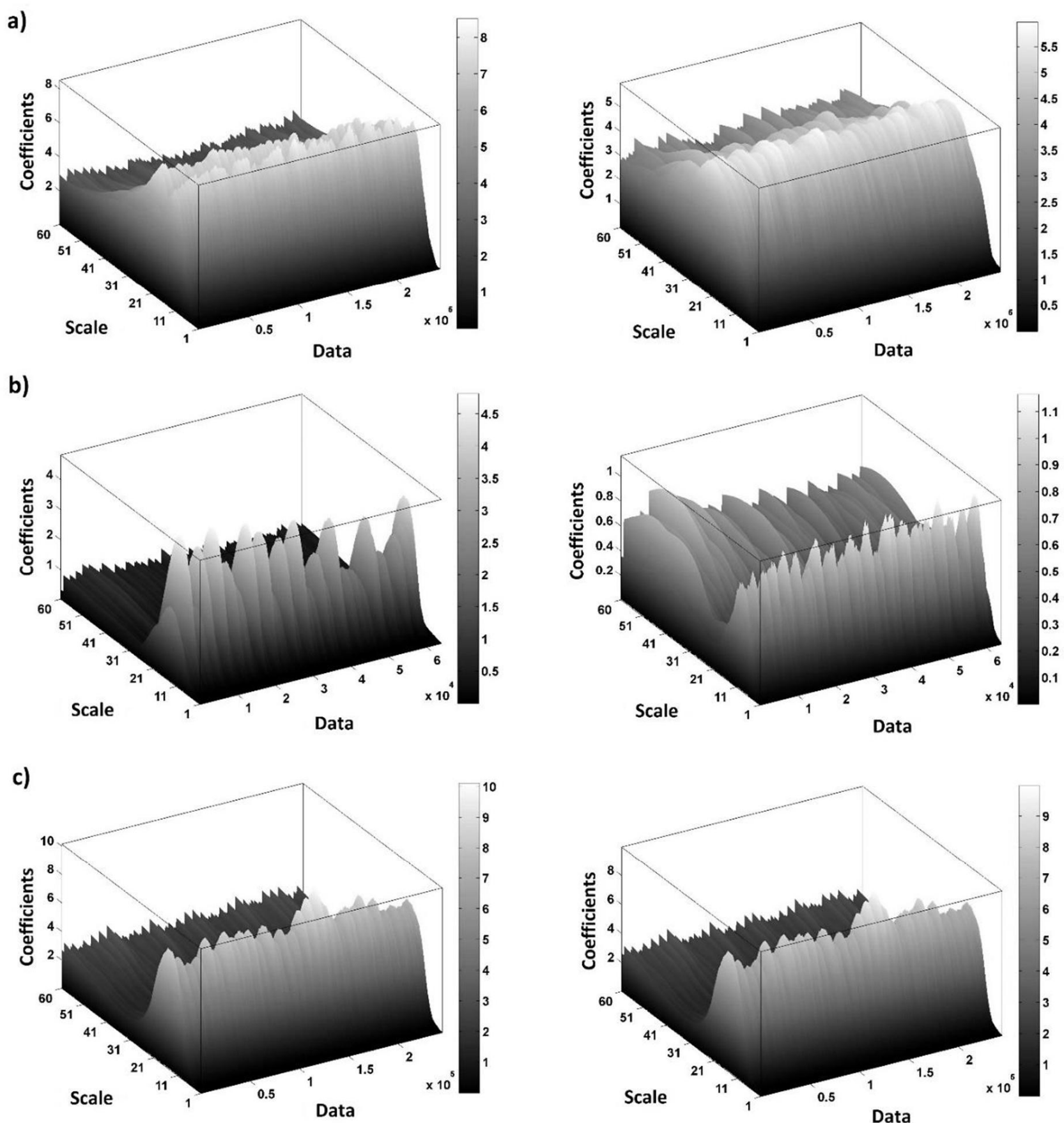


Fig. 10 The 3-D plots for the continuous wavelet transform for the faults in the race of the bearings with 0.007 (a), 0.014 (b) and 0.021 (c) inch fault diameter

شکل 10 نمودارهای سه بعدی تبدیل موجک پیوسته برای عیوب داخل شیار یاتاقان a- با قطر عیوب 0.007 اینچ b- با قطر عیوب 0.014 اینچ c- با قطر عیوب 0.021 اینچ.
نمودارهای سمت راست و چپ به ترتیب مربوط به یاتاقان‌های طرف محرک و طرف گردنه هستند.

اختصاص یافته که درصد تطابق مقیاس مرتبط با آن دسته با آن خروجی نسبت به باقی دسته‌ها بیشتر بوده است. با ملاحظه جدول ۳ دقت بسیار بالای عملکرد نهایی روش ارائه شده در این پژوهش استنباط می‌شود، همچنین سیستم آموزش داده شده قادر است که ویژگی‌های سیگنال‌های جدید دیگر را به سرعت استخراج کرده، شناسایی و دسته‌بندی کند. جهت بررسی کارآیی روش این پژوهش، خروجی، تعداد داده‌های آموزش و آزمایش و دقت آن با روش‌های پیشین در جدول ۴ مقایسه شده است. لازم به یاد است که برای بررسی دقیق‌تر تفاوت‌های بین روش‌های پیشین و روش حاضر، درصد تعداد داده‌های آموزش و آزمایش در تمامی روش‌ها برابر در نظر گرفته شده است. از نکات جالب توجه این جدول

بدین ترتیب و با جداسازی تغییرات ضرایب در هر نمودار توسط تبدیل میر شبکه‌های تطبیقی عصبی - فازی آموزش داده می‌شوند. در این مرحله، هر کدام از دوازده شبکه عصبی - فازی تطبیقی دارای ساختاری با یک نورون در قسمت ورودی، یک نورون در قسمت خروجی و چهار نورون در لایه پنهان است. در گام بعد، با ورود 108 سیگنال جدید، عملکرد شبکه ساخته شده بررسی گردید که نتایج آن در جدول ۳ آمده است.

مشاهده می‌شود که سیگنال‌های جدید آزمایش با دقت بسیار خوبی به دوازده دسته جدایگانه تقسیم‌بندی شده‌اند (به جدول ۳ مراجعه کنید). دسته‌بندی خروجی‌های شبکه عصبی براساس میزان تطابق آن‌ها با خروجی آموزش داده شده انجام گرفته است. هر خروجی زمانی دسته‌ای

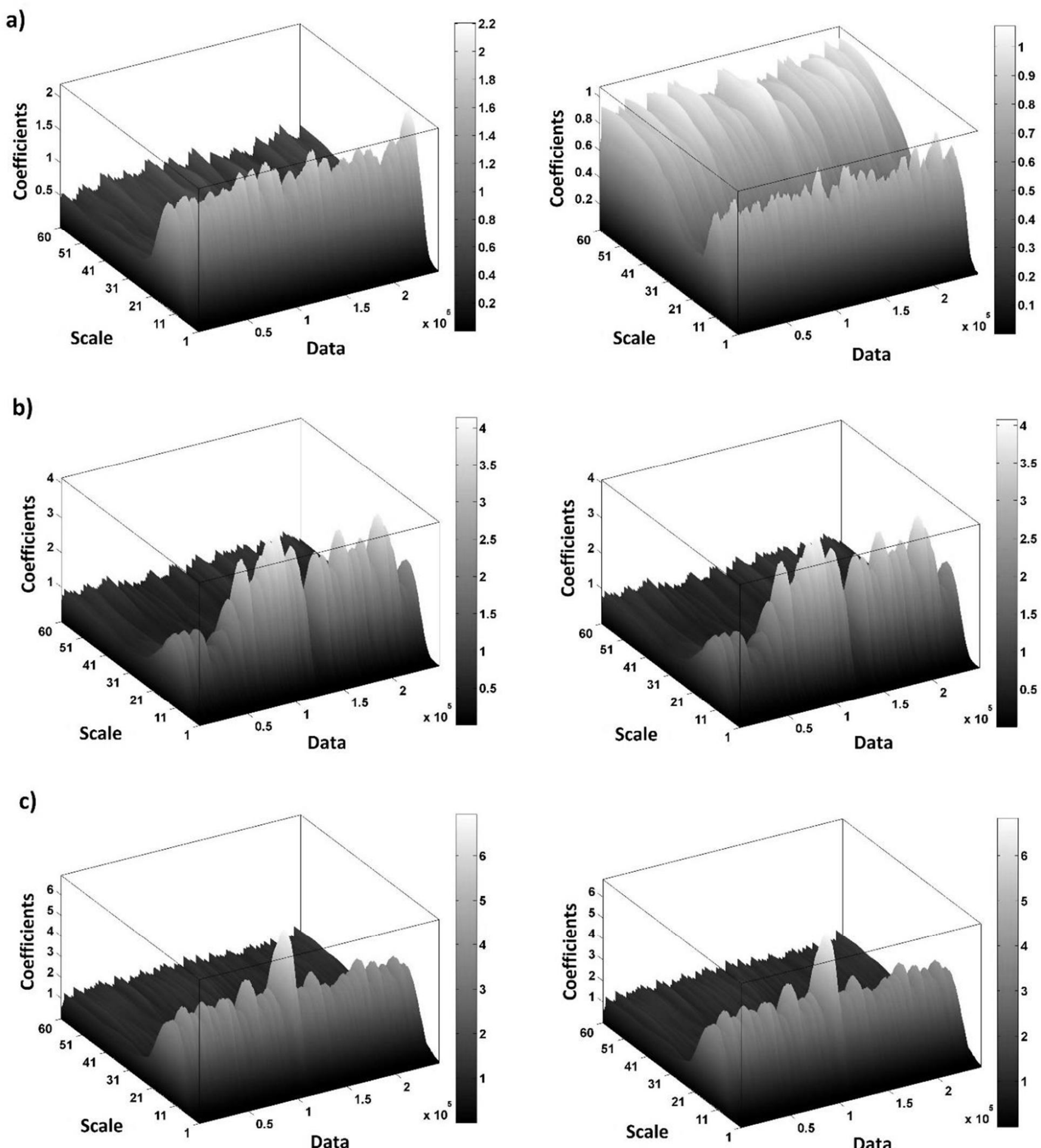


Fig. 11 The 3-D plots for the continuous wavelet transform for the faults in the balls of the bearings with 0.007 (a), 0.014 (b) and 0.021 (c) inch fault diameter

شکل ۱۱ نمودارهای سه بعدی تبدیل موجک پیوسته برای عیوب ساچمه یاتاقان a- با قطر عیوب 0.007 اینچ b- با قطر عیوب 0.014 اینچ c- با قطر عیوب 0.021 اینچ.
نمودارهای سمت راست و چپ به ترتیب مربوط به یاتاقان‌های طرف محرک و طرف گردنه هستند

تبدیل موجک پیوسته و شبکه‌های عصبی - فازی تطبیقی مورد بررسی قرار گرفت. داده‌های آزمایشگاهی شامل سیگنال‌هایی با قطرهای عیوب مختلف در محل شیار و ساچمه یاتاقان‌های موجود در قسمت گردنه و یا محرک شفت موتور الکتریکی بودند. در این روش، ابتدا ضرایب تبدیل موجک پیوسته میر به عنوان شاخصه‌های سیگنال‌های ارتعاشی آزمایشگاهی استخراج و مقایسه شد.

می‌توان به تفاوت بالای تعداد حالات خروجی تفکیک شده اشاره کرد که ناشی از ترکیب سیستم‌های هوشمند فازی و عصبی است. این روش علی‌رغم سادگی نسبت به روش‌های پیشین، دقت کم نظیری را ارائه کرده است.

6- نتیجه‌گیری

در این پژوهش، روش نوینی جهت تشخیص و دسته‌بندی میزان قطر و محل عیوب یاتاقان‌های شیار عمیق ساچمه‌ای با استفاده از ترکیب تحلیل توسط

روش حاضر با روش‌های پیشین می‌توان به قدرت تفکیک‌پذیری بالای تعداد عیوب در آن اشاره کرد.

7 - مراجع

- [1] Y.G.Lei, J.Lin, Z.J.He, Application of an improved kurtogram method for fault diagnosis of rolling element bearings, *Mechanical Systems and Signal Processing*, Vol. 25, pp. 1738–1749, 2011.
- [2] H. Qiu, J.Lee, J.Lin, G.Yu, Wavelet filter-based weak signature detection method and its application on roller bearing prognostics, *Jounal of Sound and Vibration*, Vol. 289, pp. 1066–1090, 2006.
- [3] L. Jedli'nski, J. Jonak, Early fault detection in gearboxes based on support vector machines and multilayer perceptron with a continuous wavelet transform, *Applied Soft Computing*, Vol. 30, pp. 636–641, 2015.
- [4] H. Khaksari, A. Khoshnood, J. Roshanian, Active Noise Cancelation in Reaction Wheel by simultaneous using of dynamical system identification and online wavelet, *Modares Mechanical Engineering*, Vol. 15, No.3, pp. 146-152, 2015. (In Persian)
- [5] H.Ziaiefar, M.Amiryan, M. Ghodsi, F. Honarvar, Y. Hojjat, Ultrasonic Damage Classification in Pipes and Plates using Wavelet Transform and SVM, *Modares Mechanical Engineering*, Vol. 15, No.5, pp. 41-48, 2015. (In Persian)
- [6] S. A. Atashipour, H. R. Mirdamadi, R. Amirkhattabi, S. Ziae-Rad, Application of wavelet transform in damage identification in a thick steel beam based on ultrasonic guided wave propagation, *Modares Mechanical Engineering*, Vol. 12, No.5, pp. 154-164, 2013. (In Persian)
- [7] Z. Liang, H. Fei, T. Yifei, L. Dongbo, Fault detection and diagnosis of belt weigher using improved DBSCAN and Bayesian regularized neural network, *MECHANICA*, Vol. 21, No. 1, pp. 70-77, 2015.
- [8] X. Lou, K.A. Loparo, Bearing fault diagnosis based on wavelet transform and fuzzy inference, *Journal of Mechanical Systems and Signal Processing*, Vol. 18, pp. 1077–1095, 2004.
- [9] M. Misti, Y. Misti, G. Oppenheim, J. Poggi, *Wavelet Toolbox User's Guide*, The Mathworks Inc., 2002.
- [10] I. Daubechies, *Ten lectures on wavelets, CBMS-NSF conference series in applied mathematics*, SIAM Edition, Vol 137, pp. 117–119, 1992.
- [11] W. Pedrycz, F. Gomide, *Fuzzy Systems Engineering Toward Human-Centric Computing*, John Wiley & Sons Inc., IEEE Press, Hoboken, New Jersey, USA, 2007.
- [12] B. Li, M.-Y. Chow, Y. Tipsuwan, J.C. Hung, Neural network based motor rolling bearing fault diagnosis, *IEEE Transaction on Industrial Electronics*, Vol. 47, No. 5, 2000.
- [13] J. Altmann, J. Mathew, Multiple band-pass autoregressive demodulation for rolling element bearing fault diagnosis, *Mechanical Systems and Signal Processing*, Vol. 15, No. 5, pp. 963–977, 2001.
- [14] B. Samanta, K.R. Al-Balushi, S.A. Al-Araimi, Artificial neural networks and support vector machines with genetic algorithm for bearing fault detection, *Engineering Application of Artificial Intelligent*, Vol. 16, pp. 657–665, 2004.
- [15] L. Zhang, L.B. Jack, A.K. Nandi, Fault detection using genetic programming, *Mechanical Systems and Signal Processing*, Vol. 19, pp. 271–289, 2005.
- [16] M.-Y. Cho, T.-F. Lee, S.-W. Gau, C.-N. Shih, *Power Transformer Fault Diagnosis using Support Vector Machines and Artificial Neural Networks with Clonal Selection Algorithms Optimization*, Part I, Springer, Berlin, Heidelberg, pp. 179–186, 2006.
- [17] V. Purushotham, S. Narayanan, S.A.N. Prasad, Multi-fault diagnosis of rolling bearing elements using wavelet analysis and hidden Markov model based fault recognition, *NDT&E International*, Vol. 38, No. 8, pp. 654–664, 2005.
- [18] A. Rojas, A.K. Nandi, Practical scheme for fast detection and classification of rolling-element bearing faults using support vector machines, *Mechanical Systems and Signal Processing*, Vol. 20, No. 7, pp. 1523–1536, 2006.
- [19] A. Saxena, A. Saad, Evolving an artificial neural network classifier for condition monitoring of rotating mechanical systems, *Applied Soft Computing*, Vol. 7, pp. 441–454, 2007.
- [20] X. Lou, K.A. Loparo, Bearing fault diagnosis based on wavelet transform and fuzzy inference, *Journal of Mechanical Systems and Signal Processing*, Vol. 18, pp. 1077–1095, 2004.
- [21] S. Abbasian, A. Rafsanjani, A. Farshidianfar, N. Irani, Rolling element bearings multi-fault classification based on the wavelet denoising and support vector machine, *Mechanical Systems and Signal Processing*, Vol. 21, pp. 2933–2945, 2007.

جدول 3 خروجی‌های روش ارائه شده در این پژوهش

Table 3 The proposed method's outputs

خرجی	تعداد نمونه	دقت (درصد)
حالت بدون عیب	9	
عیب با قطر 0.007 در شیار یاتاقان گردنده	9	100
عیب با قطر 0.007 در شیار یاتاقان محرک	9	100
عیب با قطر 0.014 در شیار یاتاقان گردنده	9	100
عیب با قطر 0.014 در شیار یاتاقان محرک	9	100
عیب با قطر 0.021 در شیار یاتاقان گردنده	9	100
عیب با قطر 0.021 در شیار یاتاقان محرک	9	99.1
عیب با قطر 0.007 در ساچمه یاتاقان گردنده	9	100
عیب با قطر 0.007 در ساچمه یاتاقان محرک	9	100
عیب با قطر 0.014 در ساچمه یاتاقان گردنده	9	98.3
عیب با قطر 0.014 در ساچمه یاتاقان محرک	9	100
عیب با قطر 0.021 در ساچمه یاتاقان گردنده	9	100
عیب با قطر 0.021 در ساچمه یاتاقان محرک	9	

جدول 4 مقایسه عملکرد روش ارائه شده در این پژوهش با روش‌های پیشین

Table 4 The comparison of the proposed method with the methods in the literature

مرجع	نام روش	متوسط دقت	حالات تفکیک	تعداد آموزش یا آزمایش شده	تعداد داده
[12]	شبکه عصبی تطبیقی	93.05	4	144	
[13]	تجزیه موجک	77.98	3	(*)-	5
[14]	ماشین بردار پشتیبان و شبکه عصبی تطبیقی	92.01	2	135	5
[15]	الگوریتم زنتیک	98.7	2	-	
[16]	ماشین بردار پشتیبان و شبکه عصبی تطبیقی	99.99	-	10	
[17]	تحلیل موجک و مدل مارکو پنهان	73.01	4	-	
[18]	ماشین بردار پشتیبان	99.45	2	-	
[19]	شبکه عصبی تطبیقی	96.7	-	10	
[20]	مدل مارکو پنهان	90.5	4	36	
[21]	ماشین بردار پشتیبان	100	7	63	
-	تحلیل موجک و موجک	100	12	108	
-	روش حاضر	100	12		

(*) عدم وجود داده

سپس از یک سیستم عصبی-فازی تطبیقی متشكل از دوازده زیرسیستم جهت دسته‌بندی دوازده نوع عیب استفاده شد؛ که بیشینه میزان تطابق ضرایب استخراج شده از تبدیل موجک با داده‌های آموزش هریک از زیرسیستم‌ها، اساس اختصاص یک عیب نامشخص جدید به زیرسیستم مربوط به یک عیب مشخص بود. نتایج نشان می‌دهند که استفاده این روش در عین سهولت، از دقت بسیار بالایی برخوردار است. همچنین، با مقایسه